

応答関数から見た融雪出水の特性とその機構

金沢大学工学部 正員 高瀬 信忠
 金沢大学工学部 正員 守治橋 康行
 金沢大学大学院 学生員○梅下 淳樹

1. 語言 豊雪地帯の河川においては融雪出水が利水工、河川の維持管理上に果たす役割は大きく、これら地では融雪出水の予測、制御は重要な課題となつてゐる。しかしながら、融雪出水は複雑な現象でありその機構は明らかにされていないため十分な予測、制御が行なわれていないのが現状である。本研究では日野らのフィルター分離AR法を用いて淡水期、融雪期それぞれの流出解析を行ない、応答関数、すなわち単位因、降雨の成分分離則を求めこれと比較検討することによつて融雪出水の機構を明らかにしようとしたものである。

2. 解析対象流域 解析の対象とした流域は黒部川中流右支川弥太巣谷流域(図-1)で、流域面積18.2 km²、流路延長7.4 km、平均河床勾配1/10であり、流域は非浸透性の花崗岩、閃緑岩質アグリゲートからなり、植生は大部分が玄葉樹で良好である。流量及び雨量は建設省北陸地方建設局黒部工事事務所により観測されており、各観測所の位置は図-1に示すとおりである。淡水期の解析には降積雪の影響のまゝたくない7月～10月の4ヶ月間のデータを用い、融雪期の解析には3月～5月の3ヶ月間のデータを用いた。解析は日単位で行ない、1975年～1979年の5年間にについて解析を行なつた。

3. 解析結果 ここではフィルター分離AR法による流出解析の手法については述べないので、詳細は参考文献を参照されたい。1) 流出成分の分離 観測流量時系列から表面中間流出成分および地下水流出成分への分離は式(1)で表わされる片側作用数値フィルターを通して行なつた。

$$W(z) = C_0 \exp(-C_1 z / 2) \sinh(\sqrt{C_1^2/4 - C_0} \cdot z) / \sqrt{C_1^2/4 - C_0} \quad (z \geq 0) \\ C_0 = (\delta/T_c)^2, \quad C_1 = \delta^2/T_c \quad \left. \right\} \quad \dots \dots \dots \quad (1)$$

分離フィルターの周波数特性は、観測流量時系列の自己相関関数、自己回帰係数および淡水での減特性より求め、 $\delta = 2.5$ 、 $T_c = 6$ 日とし、淡水期、融雪期とも同じフィルターを用いて成分分離を行なつた。各成分時系列への分離は次式により行なわれる。

$$y_i^{(e)} = w_e y_i + f w_i y_{i-1} + \dots + w_m y_{i-m} \quad \dots \dots \dots \quad (2)$$

ここで、 $y_i^{(e)}$ ：第*i*成分流出量時系列、 w_e ：分離フィルター、 y_i ：観測流量時系列である。

2) 自己回帰係数、単位因、降雨の成分分離則 各流出成分時系列ごとに自己回帰モデルを適用し自己回帰係数を求めた結果を表-1に示す。表面中間流出成分に対するは淡水期、融雪期ともに2

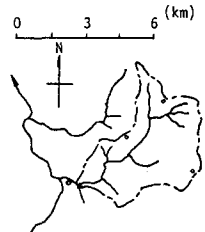


図-1 弥太巣谷流域概要

表-1 自己回帰係数

R	洪水期		融雪期	
	表面中間 流出成分	地下 水流出成分	表面中間 流出成分	地下 水流出成分
1	0.308	1.579	0.258	1.498
2	0.060	-0.739	0.068	-0.619
3	—	0.057	—	0.229
4	—	0.031	—	0.024
5	—	0.028	—	-0.315
6	—	-0.110	—	0.216
7	—	0.090	—	-0.033
8	—	-0.036	—	-0.070
9	—	—	—	0.133
10	—	—	—	-0.122
11	—	—	—	0.030
12	—	—	—	-0.009

次となり、地下水流出成分に対しては淡水期が8次、融雪期が12次となつた。各流出成分ごとの単位図は、表-1の自己回帰係数を用いて式(3)によって求められる。

$$h_n^{(2)} = \sum_{i=1}^{\infty} h_{n-i}^{(2)} \cdot \alpha_i^{(2)} \quad \dots \dots \dots (3)$$

ここに、 $h_n^{(2)}$: (l)成分の単位図、 $\alpha_i^{(2)}$: (l)成分の自己回帰係数。

式(3)より求められ淡水期および融雪期の単位図を図-2, 3に示す。

表面中間流出成分の単位図は淡水期と融雪期ではほとんど差が見られず、ピークは7日目ぐらいにあり、9日間ぐらいでほとんど流出する。地下水流出成分は淡水期ではピークは3日目ぐらいにあり、13日間ぐらいでほとんど流出する。一方融雪期ではピークは6日目ぐらいにあり、26日間ぐらいでほとんど流出するゆるやかな応答を示し、ピークも淡水期の半分以下となっている。流量時系列から逆推定された有効降雨を用いて地下水流出成分への降雨の分離則を示したもののが図-4, 5である。図-4を見ると淡水期には10mm以上の降雨は表面中間流出成分系へ入力されることが示されており、前述の非浸透性の地質によるものと考えられる。一方融雪期では弱い強度の入力が長時間続いたため地下水流出成分系への入力が多くなるものと思われる。ここで得られた結果から判断すると、融雪水及び積雪期の降雨は積雪層内を浸透流下した後地表面に達し、さらに地中を通って流出するため単位図が非常にゆるやかな応答を示すものと思われる。したがって融雪期に地下水成分として分離された成分のほかには、淡水期と表面中間流出成分として分離された成分と同じ流下経路を通ったものも含まれていると考えられる。表面中間流出成分についても単位図の形にはほとんど差はないが、融雪期には積雪層を通して直接河道に流出する成分が含まれているため地下水流出成分同様ゆるやかな応答となるべきものが淡水期と同じ早い応答を示したものと考えられる。

4. 結語 フィルターフィルタAR法を用いて融雪出水の特性

とその機構について検討したが、今後解析例を増やすとともに実験、現地観測等によってここで得られた結果を確かめていくつもりである。最後に、貴重な資料を提供していただきたい建設省黒部工事事務所の各位並びにプログラムを提供していただきたい東工大日野教授に深く感謝いたします。

参考文献：例えば日野幹雄：降雨流出のmodeling，第17回水工学における夏季研修会講義集，1981。

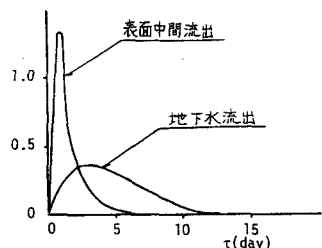


図-2 淡水期の単位図

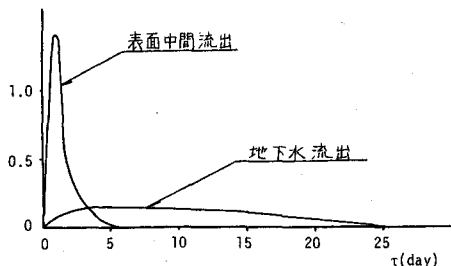


図-3 融雪期の単位図

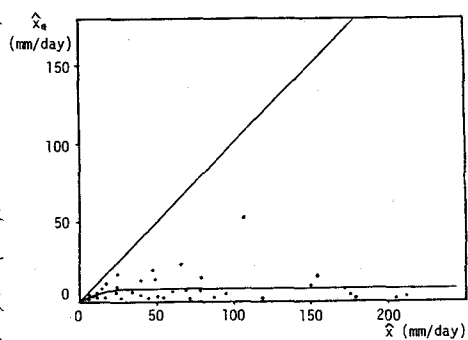


図-4 淡水期の降雨の地下水流出成分への分離則

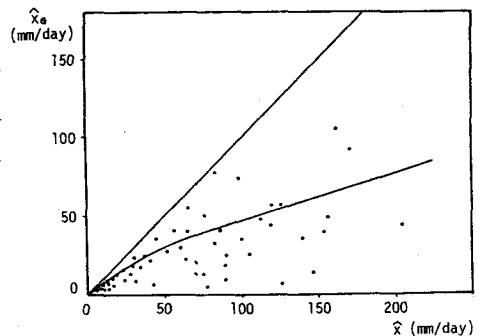


図-5 融雪期の降雨の地下水流出成分への分離則